



УДК: 517.938, 533.1  
MSC 2010: 37A60, 65P20

## Уравнение состояния идеального газа в сообщающихся сосудах

Д. М. Наплеков, В. П. Семиноженко, В. В. Яновский

В работе рассматривается идеальный газ в двух сообщающихся сосудах. В одном из них поведение частиц является эргодичным. В другом поведение частиц заведомо не эргодично. Значительная часть фазового пространства этого сосуда занята островками устойчивости. Показано, что давление газа устанавливается равномерным в первом сосуде и сильно не равномерным во втором. Рассмотрено установившееся распределение времен нахождения частиц в сосудах. Для неэргодичного сосуда оно оказывается довольно необычным: дельтообразные пики в области малых времен, участки степенного спадания и экспоненциальный хвост. Такой вид распределения оказался связан с устройством островков устойчивости, разрушившихся при соединении сосудов. Получено уравнение состояния газа в первом сосуде. Уравнение состояния отличается от уравнения состояния идеального газа наличием добавки к объему сосуда. Таким образом, форма границы сосуда влияет на уравнение состояния газа. Показано, что возникающая поправка к объему хорошо коррелирует с долей фазового пространства под оставшимися не разрушенными островками устойчивости.

Ключевые слова: неэргодичность, идеальный газ, уравнение состояния, сообщающиеся сосуды, установление равновесия

### 1. Введение

Модель бесстолкновительного идеального газа является одной из наиболее часто используемых в физике. К поведению идеального газа сводится множество различных физических явлений. В этой модели молекулы газа считаются невзаимодействующими между собой и сталкивающимися с границей сосуда абсолютно упруго. Исходя из этого ясно, что

---

Получено 25 июня 2013 года  
После доработки 25 июля 2013 года

---

Наплеков Дмитрий Михайлович  
[nmi@datasvit.net](mailto:nmi@datasvit.net)

Семиноженко Владимир Петрович  
[semynozhenko@isc.kharkov.com](mailto:semynozhenko@isc.kharkov.com)

Яновский Владимир Владимирович  
[yanovsky@isc.kharkov.ua](mailto:yanovsky@isc.kharkov.ua)

Институт монокристаллов, Национальная академия наук Украины  
61001, Украина, г. Харьков, пр. Ленина, 60



поведение идеального газа определяется свойствами траектории одной частицы на достаточно длительных временах наблюдения. Это позволяет изучение идеального газа свести к движению частицы в бильярде.

Математический бильярд [1] — модельная система, в которой частица движется внутри замкнутой границы бильярда равномерно и прямолинейно, отражаясь от границы абсолютно упруго. Бильярды — стандартный объект изучения в теории хаоса. Хорошо известны бильярды с сильно развитым хаосом, в которых свойство эргодичности выполняется, например бильярд Синая. Однако есть и бильярды со слабым типом хаоса, в фазовом пространстве которых существуют островки устойчивости, что делает их заведомо неэргодичными. Два бильярда с разным типом хаоса, соединенные через небольшое отверстие, изучались в работах Заславского (см., например, [2]). В этих работах был поставлен вопрос установления термодинамического равновесия в такой системе. В работе [2] одним из бильярдов выбран эргодичный бильярд Синая, вторым — похожий бильярд, но с центральным рассеивателем в виде овала Кассини, имеющий островки устойчивости в фазовом пространстве. Хаос в обоих бильярдах был сильным с положительным показателем Ляпунова. Отверстие между бильярдами, через которое траектория может попадать и покидать бильярд, делает эти бильярды открытыми.

Изучение открытых бильярдов в настоящее время становится все более важным разделом математической физики. Это связано как с большим количеством прикладных применений в акустике [19], гидродинамике [3, 4], климатологии [5], космологии [6], оптике [7–9] и физике плазмы [10], так и со связью с большим количеством теоретических вопросов — обоснованием статистической физики, связью между классическим и квантовым описаниями системы и др. [11–17]. Подробное описание связи бильярдов с этими разделами можно, например, найти в обзоре [18]. При рассмотрении открытых бильярдов, как правило, изучается распределение времен выхода траекторий из бильярда. В целом, для хаотического поведения характерен экспоненциальный закон спада этого распределения, для регулярного — степенной (см., например, [19]). При этом в хаотичных бильярдах зачастую кроме основного экспоненциального спада наблюдается степенной хвост распределения. Как показано в работе [20], одна и та же система, не имеющая островков устойчивости в фазовом пространстве, в зависимости от параметров может как иметь, так и не иметь степенной хвост. Его наличие также зависит от того, как распределены попадающие в бильярд частицы. Так, например, для стадиона Бунимовича (с равномерно распределенными по фазовому пространству начальными данными траекторий) в работе [21] показано наличие такого хвоста, но для траекторий, попадающих в этот же бильярд через отверстие в границе, в работе [22] показано, что для одних положений отверстия степенной хвост есть, для других — нет.

Обычно при рассмотрении идеального газа дополнительно без доказательства принимается гипотеза об эргодичности поведения газа и справедливости распределения Гиббса. Однако в теории математических бильярдов известны формы границы бильярда, в которых движение частицы заведомо не является эргодическим. Кроме того, для бильярдов Синая и Бунимовича теоретически [23] и экспериментально [24] было показано, что замена физически невозможного случая идеально жесткой стенки на сглаженный потенциал приводит к появлению в фазовом пространстве островков устойчивости, то есть к потере эргодичности. Движение в бильярде прямоугольной формы также не эргодично. Например, давление, которое траектория создает на стенки прямоугольного бильярда, неравномерно и существенно зависит от выбора траектории. Детальное обсуждение возможности перехода к термодинамическому пределу в этом случае можно найти в [25]. Численные эксперименты

по релаксации идеального газа на отрезке в состоянии статистического равновесия и отличиям этого состояния от термодинамического детально обсуждаются в работе [26].

В этой работе мы рассмотрим поведение двумерного бесстолкновительного идеального газа, находящегося в двух сообщающихся сосудах, один из которых заведомо является не эргодичным. Мы будем рассматривать двумерные бильярды, однако полученные результаты напрямую переносятся, например, на трехмерный случай движения частиц в прямой призме с основанием в виде рассматриваемого двумерного бильярда. Отверстие, соединяющее сосуды, будет достаточно мало, чтобы в первом сосуде устанавливались типичные для эргодического случая распределения и можно было вводить макроскопические параметры газа обычным образом. Давление на его стенки будет равномерным. Изучим, как повлияет на свойства газа в первом сосуде неэргодичность сообщающегося с ним второго сосуда. Основное внимание уделим уравнению состояния идеального газа. В рассматриваемом случае давление зависит не только от объема и температуры, как обычно наблюдается у газа с эргодичным поведением. Такая модификация уравнения состояния качественно согласуется с релаксацией системы к стационарному распределению вероятностей в фазовом пространстве [27], отличающемуся от термодинамического. Однако пока динамика неэргодичного бильярда далека от полностью регулярной, численный счет показал, что можно установить модифицированное уравнение состояния идеального газа, содержащее определенную поправку. Разумеется, соответствующая поправка к объему уже существенно зависит от устройства фазового портрета системы и определяется не термодинамическими переменными. В этом смысле модифицированное уравнение состояния идеального газа зависит и от не термодинамических переменных.

С другой точки зрения, ясно, что полученные результаты тесно примыкают к проблеме влияния структурно сложной границы на уравнение состояния идеального газа. Такое уравнение состояния становится применимым к большому числу важных практических приложений.

## 2. Бильярдный формализм

Для исследования подобных вопросов исключительно полезен оказывается лагранжев подход к описанию бильярдных [28]. Основная причина этого связана с возможностью рассматривать и сравнивать фазовые пространства как исходных бильярдных, так и их объединений. Кроме этого, исключительно наглядно выглядит результат появления отверстия на границе бильярда, что удобно для качественных соображений о свойствах открытых бильярдных. Поэтому кратко напомним этот подход к динамике бильярдных. Границу замкнутого бильярда в этом формализме удобно описывать параметрически натуральным параметром  $s \in S^1$ . Основным элементом, определяющим однозначно состояние бильярдной частицы, является отдельный прямолинейный сегмент траектории. Каждый такой сегмент однозначно определяется началом и концом прямолинейного отрезка, начинающегося и заканчивающегося на границе бильярда. В координатах натурального параметра его можно задать как  $(s_1, s_2)$ , где  $s_1 \in S^1$  и  $s_2 \in S^1$ . Этот направленный отрезок однозначно определяет следующий сегмент бильярдной траектории. Таким образом, фазовое пространство бильярда содержится в двумерном торе  $T^2 = S^1 \times S^1$ . Для различных форм бильярдных не каждый прямолинейный отрезок, начинающийся и заканчивающийся на границе бильярда, принадлежит внутренности бильярда и, следовательно, не может рассматриваться в качестве сегмента бильярдной траектории. Следовательно, фазовое пространство таких

бильярдов — тор с дырками. Более детальное описание этого подхода можно найти в работе [28]. Так же просто выглядит структура динамического уравнения, определяющего следующий сегмент  $(\bar{s}_1, \bar{s}_2)$  по предыдущему:

$$\begin{aligned}\bar{s}_1 &= s_2, \\ \bar{s}_2 &= f(s_1, s_2),\end{aligned}$$

где функция  $f(s_1, s_2)$  определяется формой бильярда и обладает некоторыми общими и универсальными свойствами (см., например, [29]). В частности, она является инволюцией и для всех форм бильярдов удовлетворяет тождеству

$$f(f(s_1, s_2), s_2) = s_1.$$

Далее при изучении и демонстрации фазового портрета удобно пользоваться разверткой тора в виде единичного квадрата. Далее в работе будет использоваться этот подход для описания бильярдных траекторий.

### 3. Бильярд в треугольнике

Выбор обоих сосудов является достаточно произвольным; первый сосуд может иметь любую форму, обеспечивающую достаточно развитый хаос. В качестве наиболее простого первого сосуда, обладающего необходимыми свойствами, выберем бильярд в форме треугольника с несоизмеримыми с  $\pi$  углами. Хаотические свойства такого бильярда обнаружены численно в работе [30]. Следует заметить, что в таком бильярде реализуется слабый хаос с нулевым показателем Ляпунова в отличие от рассеивающего бильярда в работе [2]. Класс треугольников с точностью до подобия представляет собой двухпараметрическое множество. В качестве параметров удобно выбрать два угла  $\alpha$  и  $\beta$ , где  $\alpha$  — угол между сторонами  $A$  и  $B$ ,  $\beta$  — угол, дополнительный к углу между сторонами  $A$  и  $C$ . Длины сторон треугольника удобно нормировать на его периметр.

Описание движения в бильярде можно проводить разными способами, мы воспользуемся подходом, описанным выше с использованием натуральной параметризации границ бильярдов. Для задания точки, лежащей на границе бильярда, достаточно задания одной координаты  $s$ . Определим координату точки  $s$  как расстояние до нее, пройденное вдоль границы бильярда от некоторой выделенной точки на границе бильярда (см. рис. 1) и нормированное на периметр бильярда. Таким образом,  $s$  может принимать значения в интервале  $[0, 1]$ . Для того чтобы полностью описать траекторию движения частицы в бильярде, как отмечалось ранее, достаточно задать функцию  $f(s_1, s_2)$ . Эта функция  $s_3 = f(s_1, s_2)$  была получена аналитически в явном виде, она состоит из двенадцати ветвей для остроугольного треугольного бильярда и десяти — для тупоугольного. Каждая из этих ветвей является дробно-рациональной функцией со своими коэффициентами, то есть имеет вид

$$s_3 = C_j + \frac{(s_1 - A_j)(s_2 - B_j)}{D_j s_1 + E_j s_2 + F_j},$$

где индекс  $j$  нумерует соответствующие ветви отображения. Постоянные  $A_j$ ,  $B_j$ ,  $D_j$ ,  $E_j$  и  $F_j$  найдены аналитически и определяются двумя углами треугольника. С помощью этого отображения были построены фазовые портреты траекторий в треугольном бильярде; типичный вид одной траектории, для случая несоизмеримых с  $\pi$  углов треугольника, показан на рисунке 2 снизу слева.

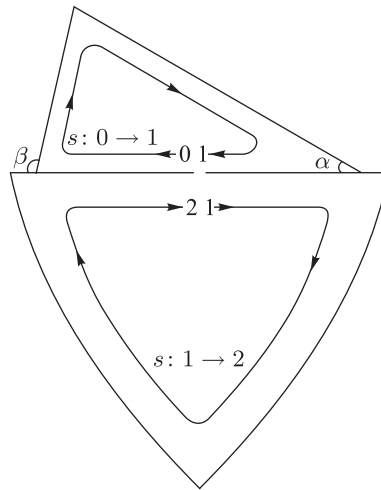


Рис. 1. Общая параметризация треугольного и криволинейного треугольного бильярдов. Координата столкновения частицы со стенкой  $s$  отсчитывается от центра отверстия между бильярдами сначала по часовой стрелке вдоль границы треугольного бильярда, потом так же для криволинейного треугольного бильярда.

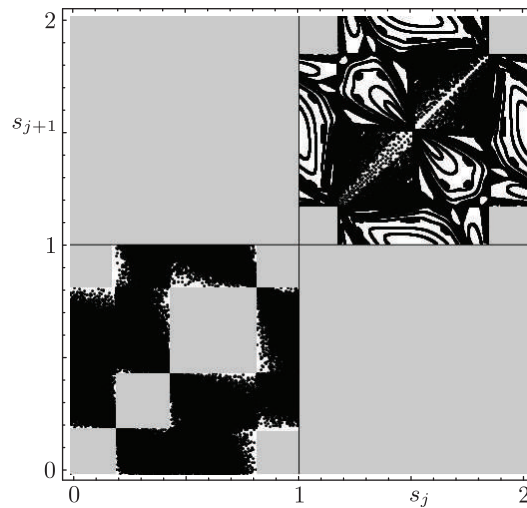


Рис. 2. Фазовые портреты траекторий в треугольном и криволинейном треугольном бильярдах при закрытом отверстии между ними, бильярды отделены друг от друга. Внизу слева — типичная траектория треугольного бильярда с углами  $\alpha = 0.63$  и  $\beta = 1.91$ . Вверху справа — фазовый портрет криволинейного треугольного бильярда с параметром  $\sigma = 0.8$ . Запрещенные зоны возникают вследствие невозможности траектории переходить из одного бильярда в другой и невозможности двух последовательных столкновений с одной и той же плоской стороной границы.

#### 4. Бильярд в параболическом треугольнике

Второй сосуд должен иметь форму, обеспечивающую существование в фазовом пространстве кроме хаотической компоненты еще островков устойчивости. Это гарантирует его неэргодичность. В качестве такого сосуда выберем бильярд в форме криволинейного треугольника, две стороны которого задаются уравнением

$$y = \pm \frac{x}{2a}(2a - x), \quad x \in [0, b]. \tag{4.1}$$



Третья сторона является плоской (см. рис. 3). Параболическая часть границы обладает следующим свойством: все лучи, исходящие из точки  $(a, 0)$ , после двух отражений возвращаются в нее, так  $a$  можно считать фокусным расстоянием этого бильярда. Бильярды такого вида образуют однопараметрическое семейство, параметром которого выберем  $\sigma = \frac{b}{a}$ . Далее такие бильярды будем называть параболическим треугольным бильярдом.

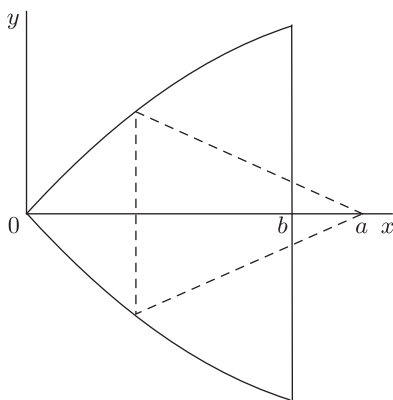


Рис. 3. Вид криволинейного треугольного бильярда.

Аналогично треугольному бильярду, параметризуем его границу расстоянием  $s$ , отсчитанным вдоль границы бильярда от некоторой выделенной ее точки. Используя эту параметризацию, построим фазовые портреты траекторий в этом бильярде. Фазовые портреты качественно отличаются при разных значениях величины  $\sigma$ . Фазовый портрет для параметра  $\sigma = 0.8$  показан на рисунке 4. Видно, что большую часть фазового пространства занимают островки устойчивости, между которыми находится хаотическая компонента. Доля объема фазового пространства, занятого хаотической компонентой, меняется в достаточно широких пределах с изменением параметра бильярда  $\sigma$ . Вид этой зависимости показан на рисунке 5. При  $\sigma = 1$  хаотическая компонента фазового пространства исчезает, в этом случае фазовый портрет имеет вид, показанный на рисунке 6. Таким образом, фазовый портрет при отличной от нуля хаотической компоненте является типичным для большинства бильярдов общего положения. Собственно, это и мотивирует использование его в качестве второго сосуда. После изучения динамических свойств этих закрытых бильярдов перейдем к их объединению.

## 5. Соединение бильярдов

Рассмотрим теперь бильярд, полученный соединением описанных выше параболического и обычного треугольного бильярда. Границу такого объединенного бильярда снова можно параметризовать единым натуральным параметром  $s$ . Параметризация такого бильярда показана на рисунке 1. Пусть на общем участке границы (для параболического бильярда — в центре плоской стороны) будет некоторое соединяющее бильярды отверстие, через которое траектория из одного бильярда может попасть в другой и вернуться назад. Пока это отверстие перекрыто, бильярды отделены друг от друга: фазовые портреты их траекторий в выбранной параметризации показаны на рисунке 2.

После открытия отверстия бильярды становятся единым замкнутым бильярдом, и фазовый портрет объединения этих двух бильярдов приобретает вид, показанный на



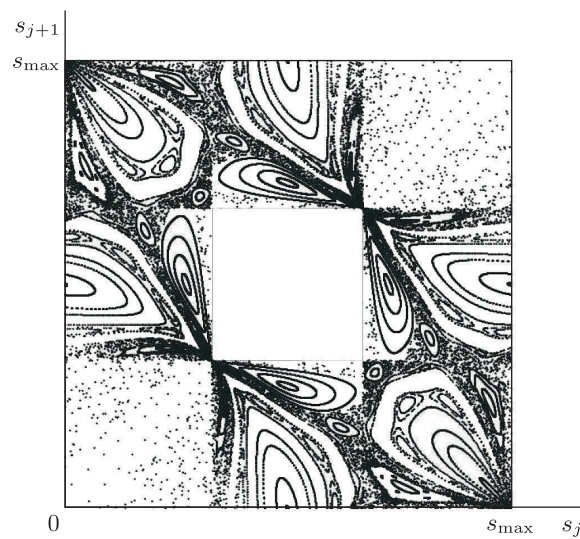


Рис. 4. Фазовый портрет траекторий параболического треугольного билиарда с параметром  $\sigma = 0.8$ . Координата  $s$  отсчитывается от вершины при выпуклых сторонах. Фазовое пространство заполнено островами устойчивости с хаотической компонентой между ними.

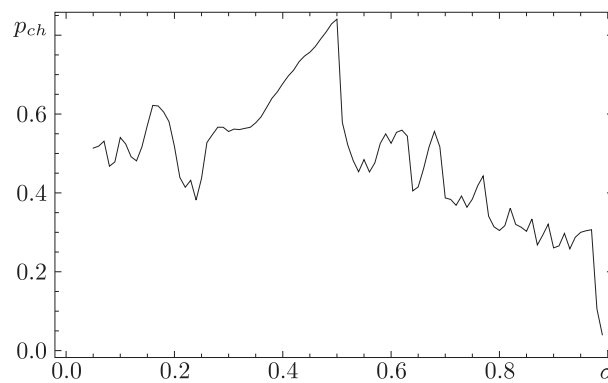


Рис. 5. Зависимость объема фазового пространства, занятого хаотической компонентой, от параметра  $\sigma$ . При приближении  $\sigma$  к единице хаотическая компонента исчезает.

рисунке 7. Кроме сегментов траектории, полностью лежащих в одном или другом билиарде, будут появляться сегменты траектории, проходящие сквозь соединяющее билиарды отверстие, так что начало сегмента лежит в одном билиарде, а конец в другом. Этим сегментам соответствуют «усы», появившиеся во второй и четвертой четвертях фазового портрета (см. рис. 7). Каждая точка во второй четверти соответствует переходу траектории из треугольного билиарда в параболический, в четвертой четверти — возврату назад.

Важным является тот факт, что теперь траектории хаотического моря и ряда островков устойчивости в параболическом треугольном билиарде перестали быть отделенными друг от друга. Частица, находящаяся на траектории хаотического моря, может уйти в треугольный билиард и вернуться оттуда уже на траекторию, которая у замкнутого параболического треугольного билиарда принадлежала бы островку устойчивости. Те островки устойчивости, траектории которых частично попали на удаленный участок границы, оказываются разрушенными (см. рис. 8), и гораздо большая часть фазового пространства ока-

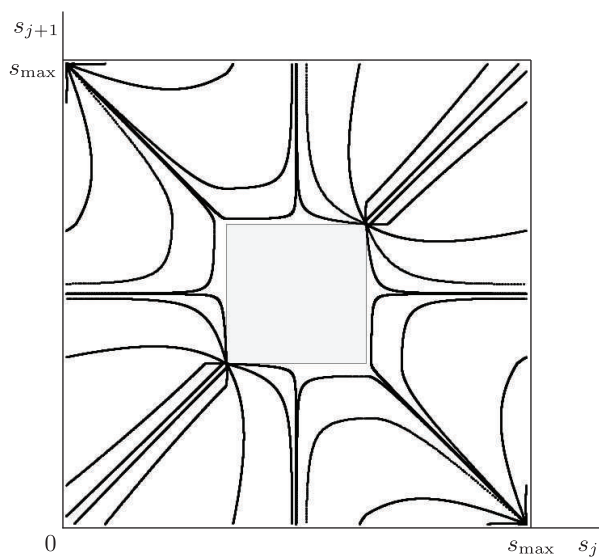


Рис. 6. Фазовый портрет траекторий параболического треугольного бильярда с параметром  $\sigma = 1$ . Регулярная динамика, хаотическая компонента фазового пространства отсутствует.

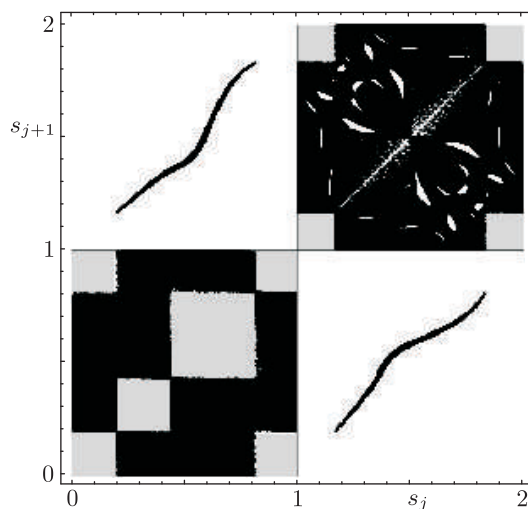


Рис. 7. Фазовый портрет траектории в соединенных треугольном и криволинейном треугольном бильярдах с параметрами  $\alpha = 0.63$ ,  $\beta = 1.91$  и  $\sigma = 0.8$ . Появившиеся во второй и четвертой четвертях точки соответствуют переходам траектории из одного бильярда в другой. Видно, что большая часть островков устойчивости криволинейного треугольного бильярда оказалась разрушена.

зывается доступна для траектории одной частицы. Такая траектория на фазовом портрете зарисовывает ранее недоступные ей части фазового пространства так, что результат выглядит как единое хаотическое море. Сравнивая фазовые портреты бильярдов до и после соединения, это явление легко заметить (см. рис. 2 и рис.7).

Однако свойства траекторий по-прежнему существенно зависят от характеристик «разрушенного» островка устойчивости. Так, до объединения в бильярдах было три типа траекторий: чисто хаотические, периодические и квазипериодические. В объединенном бильярде изменился тип траекторий. Разумеется, траектории острова устойчивости, которые



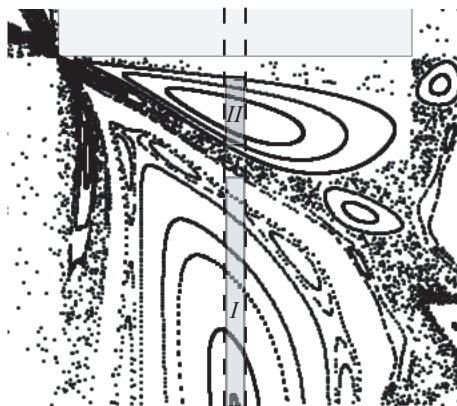


Рис. 8. Показаны области фазового пространства, с помощью которых все попадающие в параболический треугольный бильярд траектории разбиваются на три группы. Первая — попадающие на нижний островок устойчивости, в область *I* фазового пространства, вторая — в область *II*, третья — все остальные. Пунктиром показана граница отверстия между бильярдами.

не попадают на отверстие, остаются без изменений. Попадающие на отверстие траектории островов меняют свой тип. Эти траектории приобретают перемежаемый характер. Действительно, периодическая траектория такого острова устойчивости, после нескольких колебаний попав на отверстие переходит в треугольный бильярд и становится хаотической. После некоторого времени траектория покидает треугольный бильярд и может попасть на область хаотических движений или на некоторую траекторию острова устойчивости фазового портрета параболического бильярда. В первом случае хаотическое поведение меняет свой тип, оставаясь хаотическим, во втором — сменяется новой, квазипериодической ламинарной компонентой. Следует подчеркнуть, что период или квазипериод этого участка траектории в точности совпадает с периодом соответствующей траектории, принадлежащей острову устойчивости в замкнутом бильярде. Время сохранения периодичности зависит от характеристик островка и размера входного окна и может быть достаточно продолжительным. Следовательно, переходы между бильярдами определяют перемежаемость траектории движения частицы. Таким образом, все бывшие хаотические траектории и часть регулярных траекторий после объединения бильярдов приобретают универсальный перемежаемый характер поведения.

## 6. Установление стационарного состояния

Рассмотрим условия установления равновесия в газе несталкивающихся частиц, запущенных в рассматриваемое объединение двух бильярдов. Для этого мы должны рассматривать одну длинную траекторию для каждой частицы. Любая частица переходит из одной половины бильярда в другую строго последовательно. Число переходов из одной половины в другую отличается от числа возвратов не более чем на единицу, поэтому на временах много больше времени возврата Пуанкаре к отверстию средние потоки частиц через отверстие в обе стороны обязательно установятся одинаковыми. Поскольку скорость частицы по модулю постоянна, то это относится и к потоку энергии, и, при условии одинакового распределения по направлениям, к потоку импульса через отверстие. Другими словами, установившееся равновесие означает, что такие величины, как среднее число ча-

стиц, находящихся в каждом из бильярдных, их суммарный импульс и суммарная энергия, со временем не меняются, их потоки через отверстие в обе стороны одинаковы. Однако поток импульса через отверстие и переданный стенке импульс, величина которого в единицу времени на единицу площади является давлением на стенку, — разные вещи.

Чтобы понять различие между ними, вспомним хорошо известный «парадокс» из теории вероятностей [31], который обычно формулируют следующим образом: если автобусы ходят в среднем раз в двадцать минут, то среднее время ожидания автобуса на остановке может быть час, год и более, от десяти минут до бесконечно долгого. Оно зависит не только от того, сколько автобусов в единицу времени проезжает мимо остановки, но и от того, насколько упорядоченно они едут. На рисунке 9 качественно показаны возможные варианты: а) кластерами, б) равномерно. Все проехавшие автобусы вносят одинаковый вклад в среднее число проезжающих автобусов, однако автобусы, едущие в кластере вслед за первым, почти не сокращают время ожидания на остановке.

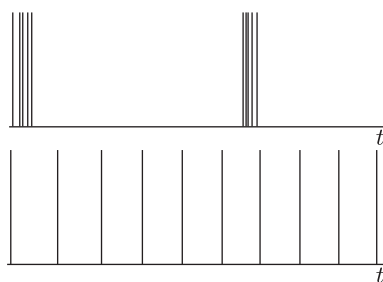


Рис. 9. Качественно показаны возможные варианты упорядочения: сверху — кластерами, внизу — равномерно.

Аналогичная ситуация имеет место и в рассматриваемой ситуации. Можно представить себе, что отверстие закрыто виртуальной стенкой, и подсчитывать, какой импульс передавала бы этой стенке частица, если бы не пролетала ее насквозь, а отскакивала от нее. Это не настоящее, «мыслимое», давление далее будем называть «виртуальным давлением». Разницу легко видеть, если столкновения частицы с настоящей стенкой происходят кластерами, то есть картина передачи импульса стенке индивидуальными столкновениями похожа на показанную на рисунке 9а. Такая картина имеет место при экспоненциальном виде соответствующего распределения. Однако с виртуальной стенкой такой порядок столкновений в принципе невозможен, поскольку уже после первого столкновения частица покидает бильярд и начинает движение в другом, где время полета до ближайшей стенки может быть сколь угодно большим. Поэтому только первое столкновение из кластера даст вклад в «виртуальное давление», а в давление на реальную стенку — все столкновения кластера.

Таким образом, в равновесии одинаковыми установятся «виртуальные давления» на отверстие, а будут ли одинаковыми реальные давления на стенки около отверстия, зависит еще от функции корреляции столкновений частицы со стенкой. Если эти столкновения в обеих частях одинаково скоррелированы, то давления установятся одинаковыми, как это имеет место в макроскопических сосудах с газом, где устанавливаются одинаковые максвелловские распределения скоростей и т. д. Но для рассматриваемых бильярдных это не так: в треугольном бильярде устанавливается типичное экспоненциальное распределение времен возврата, то есть много маленьких времен и редко большие — кластеры. В параболическом бильярде — существенно другая функция распределения: в частности, есть

явно выделенные характерные времена столкновения, то есть с достаточно большой вероятностью столкновения могут происходить регулярно, через определенные промежутки времени, что связано с устройством разрушенных островков устойчивости. Таким образом, при одинаковом виртуальном давлении из-за разных функций корреляции даже непосредственно около отверстия устанавливаются разные реальные давления. Интересно отметить, что в соответствии с известным законом Паскаля можно было бы ожидать, что локальные давления в окрестности отверстия между бильярами будут выравниваться, однако для рассматриваемого случая неэргодичного поведения, как будет показано ниже, закон Паскаля не выполняется.

Приведенные выше рассуждения были проверены численным счетом. Для этого рассматривались начинающиеся в треугольном бильярде отдельные траектории, достаточно длинные, чтобы установились все распределения. При отражении от стенок бильярда движущаяся по траектории частица передает им импульс, создавая таким образом некоторое давление на них. Это давление вычислялось как

$$P = \lim_{T \rightarrow \infty} \frac{1}{l} \cdot \frac{\sum_{i=1}^T \Delta p_i}{T},$$

где  $\Delta p_i$  — импульс, переданный стенке в  $i$ -м столкновении,  $l$  — длина той части стенки бильярда, столкновения с которой учитывались,  $T$  — время наблюдения. Поскольку отражение происходит по строго зеркальному закону, все  $\Delta p_i$  и давление в целом заведомо нормальны к стенке бильярда.

В результате численного моделирования были построены распределения давления вдоль границ треугольного и параболического треугольного бильяров. По прошествии достаточно большого времени распределение давления для параболического треугольника зависит от выбора параметра  $\sigma$ , не зависит от начальных данных траектории и не меняется с течением времени. Полученное давление на общую плоскую часть границы показано на рисунке 10, где сверху красным<sup>1</sup> показано давление на соединяющую бильяры стенку со стороны обычного треугольника, снизу — на ту же стенку со стороны параболического. Видно, что в обычном треугольнике действительно устанавливается равномерное давление на стенку, величина которого больше максимума для криволинейного треугольника. Показанное в области соединяющего бильяры отверстия «виртуальное давление» устанавливается равным с обеих сторон отверстия и заметно отличается от давления на стенки. Также видно, что давление и на непосредственно прилегающие к отверстию участки границы со стороны обычного треугольного бильярда выше, чем со стороны параболического треугольного бильярда. Для приведенных параметров разница составляет 1.2%, что намного больше погрешности счета. Таким образом, численный счет подтверждает приведенные выше рассуждения.

Для обоих бильяров было построено распределение направлений подхода траектории к соединяющему бильяры отверстию и распределение направлений падения на прилегающий к отверстию участок границы (рис. 11). Видно, что эти распределения с обеих сторон отверстия устанавливаются абсолютно одинаковыми. Аналогичные распределения для падающих на границу около отверстия частиц по разные стороны границы могут заметно

<sup>1</sup>Для читателя печатной версии: здесь и далее полноцветные версии рисунков см. в эл. версии статьи — <http://nd.ics.org.ru/doc/r/pdf/2363/0>.

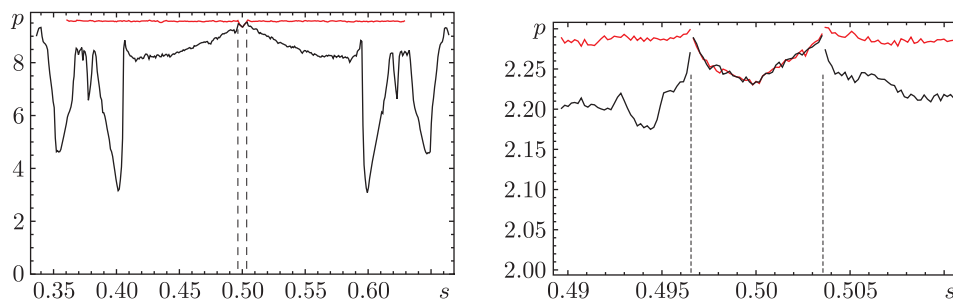


Рис. 10. Слева показано распределение давления на общую плоскую стенку билиардов с параметрами  $\sigma = 0.8$ ,  $\alpha = 0.63$  и  $\beta = 1.91$ , создаваемого одной траекторией, строившейся до достижения  $N = 2.5 \times 10^9$  столкновений со стенками треугольного билиярда. Сверху красным показано давление на общую стенку со стороны обычного треугольника, снизу — на ту же стенку со стороны параболического. В области отверстия между билиярдами, выделенной пунктиром, показана величина «виртуального давления». Справа — полученное отдельно распределение давления в области отверстия.

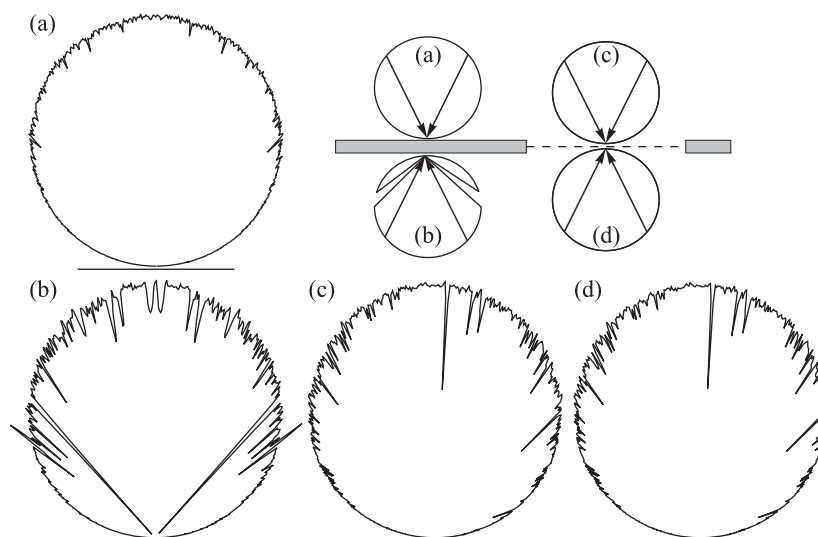


Рис. 11. Показаны распределения направлений подхода траектории к отверстию между билиярдами и к прилегающему к нему участку границы. Билиарды с параметрами  $\sigma = 0.8$ ,  $\alpha = 0.63$  и  $\beta = 1.91$ , траектория строилась до достижения  $N = 2.5 \times 10^9$  столкновений со стенками треугольного билиярда ( $2.5 \times 10^7$  возвратов). На графиках (a) и (c) — распределения, установившиеся в треугольном билиярде, на (b) и (d) — в криволинейном. Видно, что в криволинейном билиярде с некоторых направлений траектория к стенке не подходит.

отличаться друг от друга, в параболическом билиярде с некоторых направлений частицы к границе не прилетают.

Обратим внимание на то, что существенную роль в формировании величины стационарного давления играет характер перемежаемости траекторий и, следовательно, распределение времен возврата. Собственно, времена возврата и формируют длительности ламинарных и хаотических фаз траектории, поэтому остановимся более детально на основных закономерностях функций распределения времен возврата.

## 7. Распределение времен возврата

Используя численное моделирование, мы построили распределения времен пребывания траектории в обеих частях бильярда, или, что то же самое, распределения времен возврата Пуанкаре к окрестности соединяющего бильярды отверстия. Эти распределения в логарифмическом масштабе показаны на рисунке 12. Для треугольного бильярда имеем обычное для эргодичного случая экспоненциальное распределение времен возврата, для параболического — значительно отличающееся распределение, имеющее два явно выраженных максимума. Часть этого распределения, содержащая максимумы, показана на рисунке 12 отдельно. Каждый такой максимум в распределении времен возврата означает, что существует повышенная вероятность периодических возвратов, возвратов за строго определенное время. На показанные на рисунке 12 два максимума приходится примерно треть всех возвратов из распределения для бильярдов с приведенными параметрами. Как будет показано ниже, они оказывают влияние такого же порядка, как и отклонение вида остаточного распределения от экспоненциального. Поэтому такие максимумы, лежащие явно выше хода кривой распределения, должны быть выделены и рассмотрены отдельно.

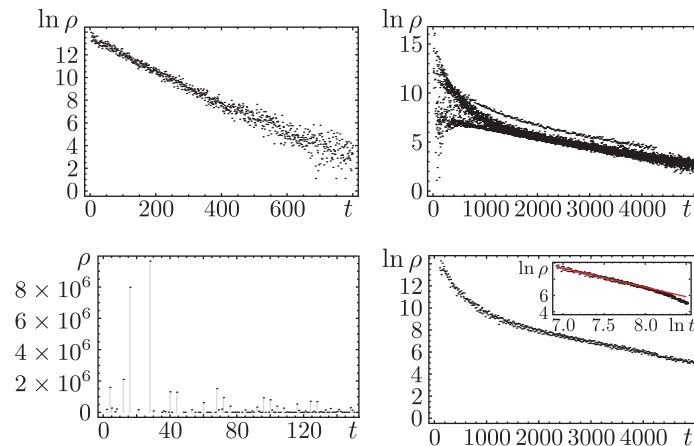


Рис. 12. Показаны распределения времен нахождения траектории в обеих частях бильярда, параметры  $\sigma = 0.8$ ,  $\alpha = 0.63$  и  $\beta = 1.91$ , траектория строилась до достижения  $N = 5 \times 10^9$  столкновений со стенками треугольного бильярда, что соответствует  $5 \times 10^7$  возвратам к отверстию для каждого из бильярдов. Слева сверху — времена пребывания в треугольном бильярде, справа сверху — в параболическом треугольном бильярде. Внизу слева в обычном масштабе показаны максимумы в области малых времен распределения для параболического треугольного бильярда. Внизу справа — огрубленное распределение времен нахождения в параболическом треугольном бильярде, без возвратов за малые времена. Кроме этого, на нем ширина столбцов гистограммы увеличена в десять раз по сравнению с показанной справа сверху. На вставке хвост распределения в двойном логарифмическом масштабе.

Распределение времен возврата строится как гистограмма, в одну точку которой объединяются все возвраты, попавшие в некоторый промежуток времени. Величина этого диапазона (и, соответственно, ширина столбца гистограммы) может быть выбрана произвольно. На рисунке 12 показано, как выглядит одно и то же распределение времен возврата, построенное с мелкими деталями в высоком разрешении по времени, и огрубленное, с большим на один порядок диапазоном объединяемых в одну точку времен. Оказывается, что в таком сглаженном виде это распределение времен возврата хорошо аппроксимируется

как сумма трех экспоненциальных распределений. На малых временах возврата доминирует экспонента с наименьшим показателем и кривая распределения является практически линейной, на больших временах доминирует экспонента с наибольшим показателем. В промежуточной области доминирует экспонента с промежуточным показателем. Ее введение оказывается обязательным, поскольку график аппроксимации только двумя экспонентами резко расходится с кривой численного счета. В действительности первые два участка, скорее всего, являются участками степенного, а не экспоненциального спада. Они существуют в небольшом диапазоне времен возврата и поэтому при анализе данных численного счета неотличимы от экспонент. Перейдем к механизмам формирования функции распределения времен возврата.

Легко заметить наличие трех составляющих, формирующих распределение времен возврата (см. рис. 12). Разделение распределения времен возврата на три отдельные составляющие имеет определенное физическое основание. Для того чтобы понять механизм такого деления, рассмотрим, в какую часть фазового пространства параболического бильярда попадают частицы, вылетающие из треугольного бильярда. Легко понять, что в нашем формализме эта часть фазового пространства совпадает с вертикальной полосой шириной с отверстие и расположенной в этом же месте (см. рис. 8). Таким образом, координаты всех попадающих в параболический бильярд частиц на фазовом пространстве лежат в полосе, показанной пунктирными линиями на рисунке 8. Положение и ширину этой части определяет входное отверстие бильярда. Тогда мы можем разделить все попадающие в параболический бильярд траектории на три группы: первая — траектории, попадающие на бывший нижний островок устойчивости, вторая — на верхний, третья — все остальные траектории, попадающие в хаотическое море и на меньшие островки. Для каждой из этих групп можно построить свое отдельное распределение времен возврата, сумма которых будет распределением для бильярда в целом. Эти распределения показаны справа на рисунке 13. Оказывается, что в диапазоне I времен возврата доминируют возвраты с нижнего островка устойчивости; возвратов из второй и третьей групп в эту область попадает мало по сравнению с большим числом возвратов из первой группы. Другими словами, практически все частицы, время возврата которых попало в показанный на рисунке 8 первый диапазон времен возврата, при входе в параболический треугольный бильярд попали на нижний островок устойчивости. Распределение их времен возврата полностью определяется свойствами траекторий нижнего островка устойчивости и в рассматриваемом диапазоне времен хорошо аппроксимируется как степенным, так и экспоненциальным распределениями. Аналогично, в области II времен возврата доминирующую роль играют возвраты траекторий второй группы, крутившихся на верхнем островке. Их распределение также можно аппроксимировать и экспоненциальным, и степенным образом, но с другими показателями экспоненты и степени.

Как известно, любая гладкая функция на достаточно небольшом интервале значений ее аргумента практически не отличается от линейной. В нашем случае возвраты из первой и второй групп доминируют только на конечных интервалах времен возврата, и их величина оказывается достаточно маленькой, чтобы полученное численно распределение и в логарифмическом, и в двойном логарифмическом масштабах было неотличимо от прямой. Таким образом, сам по себе наш численный счет не позволяет уверенно сказать, является ли полученное распределение степенным или экспоненциальным. Основываясь на теоретических соображениях, ниже мы покажем, что это степенное распределение. Однако в рассматриваемом небольшом интервале времен оно и в логарифмическом масштабе хорошо совпадает с прямой, поэтому нам будет удобно аппроксимировать его таким образом.



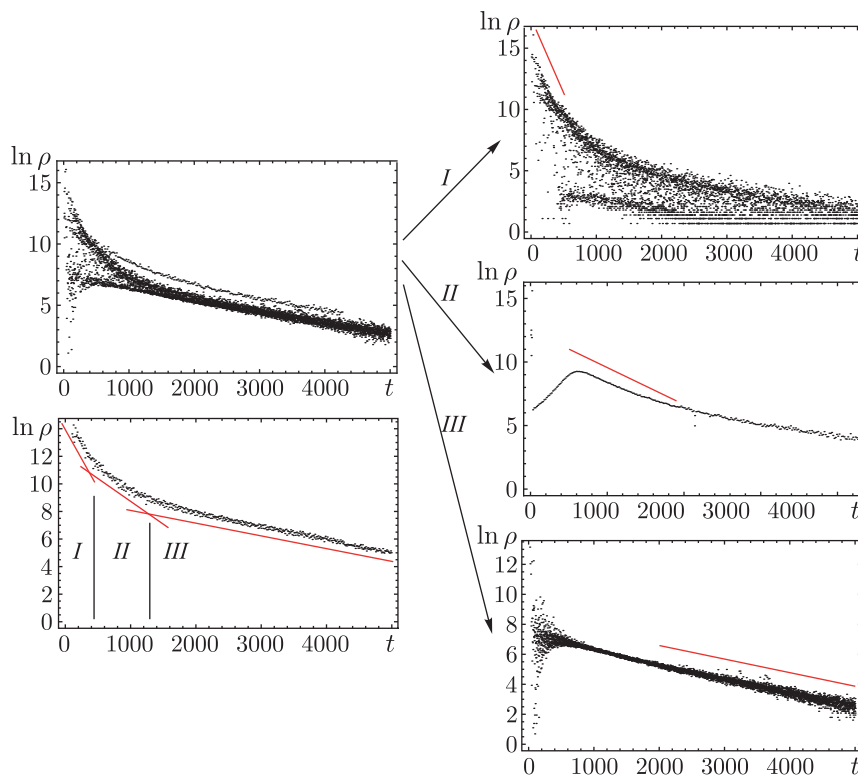


Рис. 13. Разделение полного распределения времен возврата на три составляющие его части. Слева показано само распределение, справа сверху — распределение времен возврата только для траекторий, попавших на нижний разрушенный островок устойчивости, по центру справа — на верхний, снизу справа — распределение для всех остальных траекторий. Параметры биллиардов  $\sigma = 0.8$ ,  $\alpha = 0.63$  и  $\beta = 1.91$ . Хорошо видно, что основной вклад в распределение в области небольших времен возврата дают траектории первой группы.

Показатель экспоненты хвоста распределения определяют траектории третьей группы, в двойном логарифмическом масштабе вид хвоста распределения заметно отличается от линейного (см. вставку на рис. 12). Таким образом, асимптотика на больших временах спадает именно экспоненциально, как и следовало ожидать для траекторий из хаотического моря. Правда, в область III некоторый вклад дают и траектории из других групп, но только до некоторого максимального времени возврата, определяющегося граничными траекториями островка устойчивости. Все три показателя экспонент в распределении времен возврата удалось получить для взятого отдельно параболического треугольного биллиарда, найдя на его фазовом портрете области, которые генерируют распределенное экспоненциально в соответствующем диапазоне время возврата с правильным показателем экспоненты.

Рассмотрим, не вдаваясь в усложняющие картину несущественные детали, как ведут себя траектории на разрушенном островке устойчивости. Хорошо известно, что поведение траекторий островка является квазипериодическим, то есть траектория после фиксированного числа прыжков по точкам островка, равного периоду центральной периодической траектории, возвращается к своей начальной точке, но не точно, а с небольшой сдвижкой. Еще через период траектория снова немного сдвигается, и так далее. Таким образом, возникает вращение траектории по островку с некоторой частотой, разной для разных траекторий.

Попадание на островок означает, что начальная точка траектории в фазовом пространстве лежит в полосе, соответствующей отверстию между биллиардами (показана на рис. 14 снизу пунктиром). Через период траектория попадет в окрестность этой точки, скорее всего вновь попадет на отверстие и покинет островок. Таким образом, в распределении времен возврата возникает резкий максимум, соответствующий возвратам с островка за один период его центральной траектории. Однако если начальная точка траектории попала ближе, чем на величину одного шага квазипериодического сдвига (они условно обозначены как  $p_1$  и  $p_2$  на рис. 14) к нижней левой или верхней правой границе полосы при вращении по часовой стрелке, то траектория останется на островке. Для попавшей на нижнюю часть рассматриваемой траектории островка частице величина  $\frac{p_1}{\varepsilon}$  близка к вероятности задержаться на ней надолго. В этом случае могут пройти сотни или тысячи периодов, прежде чем одна из других точек траектории допрыгает до полосы; это время разное для разных траекторий островка. Таким образом, кроме пика образуется и некоторое не дельтообразное распределение времен выхода из островка.

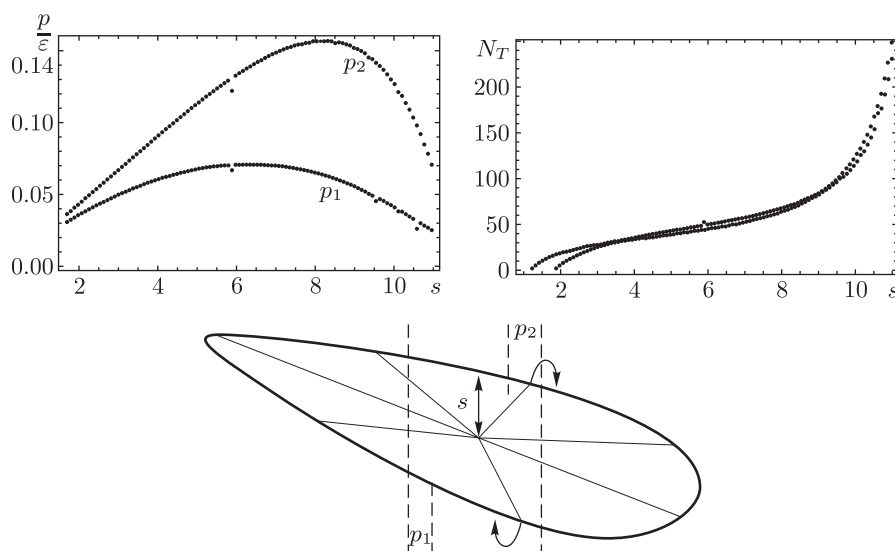


Рис. 14. Распределения, связанные с временем нахождения траектории на островке устойчивости. Сверху слева — распределение вероятностей задержаться на островке больше, чем на один период, соответствующей периодической траектории островка. Сверху справа — на распределение времен нахождения на островке для задержавшихся траекторий наложено полученное из приведенных сверху слева функций распределение. Снизу — пояснение к движению по траектории из островка устойчивости. Параметр биллиарда  $\sigma = 0.8$ .

Расстояние, которое задержавшаяся на островке траектория должна пройти до попадания в полосу выхода с островка, растет примерно линейно с увеличением расстояния  $s$  до центра островка. Разделив его на величину шага, на которую траектория сдвигается за период, мы получим время пребывания траектории на островке. Распределение величины шагов по траекториям островка показано на рисунке 14 сверху слева; сверху справа показаны полученное непосредственно численным счетом распределение времен выхода с островка и наложенное на него распределение, полученное делением линейной зависимости на сумму приведенных слева шагов. Видно, что эти распределения хорошо совпадают. Поскольку распределение величин шагов описывается явно не экспоненциальной, а степенной функцией, то это позволяет считать, что и распределение времен возврата по траекториям

имеет именно степенной характер. А так как распределение по траекториям количества попадающих на них частиц также не экспоненциально, то есть все основания полагать, что и итоговое распределение времен возврата является степенным.

Таким образом, полное распределение времен возврата частиц из криволинейного бильярда для  $\sigma = 0.8$  можно считать состоящим из пяти слагаемых: двух локальных максимумов в области самых малых времен возврата, двух степенных участков спада и экспоненциального хвоста распределения. Пики и степенные участки соответствуют возвратам частиц, попавших на верхний и нижний островки устойчивости, хвост — всем остальным траекториям, в основном из хаотического моря.

## 8. Уравнение состояния

Поскольку устанавливающиеся в треугольном бильярде распределения времен возвратов, рассмотренные выше, в целом не отличаются от распределений, устанавливающихся в случае сильно хаотического эргодического поведения, в нем можно обычным образом вводить макроскопические параметры идеального газа (например, давление, которое будет одинаковым и изотропным во всех областях границы треугольного бильярда). Разумеется, в параболическом треугольном бильярде давление может не удовлетворять этим свойствам и быть другим. Теперь, изменяя параметры треугольного бильярда и, соответственно, его объем, можно получить зависимость устанавливающегося в нем давления от суммарного объема треугольного и параболического треугольного бильярдов. Другими словами, можно установить уравнение состояния идеального газа. Эта зависимость строилась при фиксированном объеме параболического бильярда, все изменение объема достигалось за счет треугольного бильярда. Траектория начиналась в треугольном бильярде, то есть рассматривался вопрос, какое будет устанавливаться давление после открытия отверстия между бильярдами, если сначала весь газ был в треугольном бильярде. В этом случае траектории никогда не попадают на выжившие островки устойчивости и давление пропорционально числу частиц газа. При выборе начальных условий, допускающих попадание частиц на островки устойчивости, требовалось бы учитывать, что часть частиц не даст вклад в давление, поскольку эти частицы никогда не попадут в треугольный бильярд.

Вид построенной таким образом зависимости давления от обратного объема показан на рисунке 15. В целом эта зависимость оказалась достаточно близка к линейной, хотя явно видны и отклонения от линейного закона, выходящие за рамки погрешности численного счета. При приближении динамики параболического бильярда к регулярной эти отклонения нарастают и становятся существенными. Самое важное наблюдение состоит в том, что ашпроксимационная прямая не попадает в нуль координат. Для обычного уравнения состояния идеального газа такая прямая проходит именно через начало координат. Другими словами, с точки зрения треугольного бильярда, рассматриваемый параболический бильярд эффективно ведет себя как обычный эргодический бильярд, но объемом меньше реального, для  $\sigma = 0.8$  уменьшение объема достигает 20%. Следовательно, уравнение состояния идеального газа в рассматриваемом случае отличается от известного и должно быть изменено. Возникающее изменение уравнения состояния можно описать соотношением

$$P = \frac{kTN}{V + \Delta V},$$

где  $\Delta V$  — некоторая пока неизвестная добавка к объему. Основной вопрос сводится к определению зависимости этой добавки от параметров и свойств бильярдов. Интересно отме-

титель, что подобная добавка присутствует в уравнении состояния Ван-дер-Ваальса и отражает конечность размеров частиц газа. В нашем случае физическая причина ее появления принципиально другая. При «нулевом» размере частиц поправка  $\Delta V$  связана со структурной сложностью одного из сообщающихся сосудов (в более общем случае можно говорить о структурной сложности границ сосуда). Такая структурная сложность проявляется в смешанном виде фазового портрета (см. рис. 2), содержащего как хаотическую компоненту, так и островки устойчивости. Таким образом, уравнение состояния зависит не только от термодинамических переменных, но и от ряда параметров, зависящих от положения отверстия и формы бильярда. Этот вывод качественно согласуется с обсуждением установления равновесия и стационарных функций распределения, развитых в работе [27].

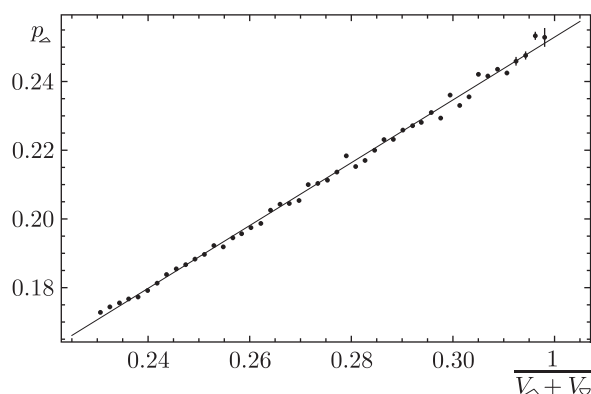


Рис. 15. Зависимость давления в треугольном бильярде от обратного объема обоих бильярдов. Объем криволинейного треугольного бильярда с параметром  $\sigma = 0.8$  был фиксирован, менялся только объем треугольного бильярда. Давление создавала одна траектория, строившаяся до достижения  $N = 5 \times 10^8$  столкновений со стенками треугольного бильярда. Усами показано среднеквадратичное отклонение от установившегося в нем давления. Величины по обеим осям даны в условных единицах.

Перейдем к выяснению величины этой поправки и зависимости ее от параметров, определяющих свойства параболического бильярда.

## 9. Вычисление общего эффективного объема

Возьмем два обычных сообщающихся эргодичных бильярда. Зависимость давления в бильярде объемом  $V$  очевидно имеет вид  $p_1 = kT \frac{N_1}{V + V_1}$ . Можно рассмотреть бильярд такого же объема  $V$ , но с частицами другого сорта в нем, сообщающийся с бильярдом объема  $V_2$ . Давление в нем будет выражено как  $p_2 = kT \frac{N_2}{V + V_2}$ . Распределение времен возврата в бильярд  $V$  в обоих случаях будет экспонентой, но с разными показателем и амплитудой. Предположим теперь, что мы объединим эти две системы в одну, так что в бильярде  $V$  будут частицы обоих сортов,  $N_1$  частиц первого и  $N_2$  — второго сортов. При этом отверстие в бильярд  $V_1$  будет пропускать только частицы первого сорта, а в  $V_2$  — только второго. Это отличает рассматриваемый случай от обычных сообщающихся бильярдов. Тогда суммарное распределение времен возврата всех видов частиц в бильярд  $V$  будет суммой двух экспонент. Парциальные давления складываются, а следовательно, для суммарного

давления в билиарде  $V$  имеем

$$p = p_1 + p_2 = kT \left( \frac{N_1}{V + V_1} + \frac{N_2}{V + V_2} \right) = kT \frac{N_1 + N_2}{V + V_{eff}},$$

где

$$V_{eff} = -V + \frac{N_1 + N_2}{\frac{N_1}{V + V_1} + \frac{N_2}{V + V_2}}. \quad (9.1)$$

Аналогично можно рассмотреть случай трех и более сортов частиц. Таким образом, поведение билиарда, распределение времен возврата которого состоит из суммы экспонент с разными амплитудами и показателями, оказывается эквивалентным поведению эргодичного билиарда с объемом  $V_{eff}$ .

Теперь объем билиарда  $V_i$ , дающего распределение времен возврата с показателем экспоненты  $\Lambda_i$ , с хорошей точностью может быть получен по формуле

$$V_i = -\frac{A\Delta}{\pi\Lambda_i}, \quad (9.2)$$

где  $A$  — ширина столбца гистограммы, которой являются построенные распределения времен возврата, то есть интервал времен возврата, показанный одной точкой,  $\Delta$  — размер соединяющего билиарды отверстия,  $\Lambda_i$  — показатель экспоненты распределения времен возврата. Число частиц  $i$ -го сорта  $N_i = Nn_i \left(1 + \frac{V_i}{V}\right)$  пропорционально числу возвратов  $n_i$ , произошедших за время построения распределения, то есть общему числу возвратов в распределении.

Рассмотрим теперь эргодический билиард объема  $V$ , имеющий некоторый особый участок границы длины  $a^*$ , задерживающий все падающие на него частицы на некоторое фиксированное время  $T^*$ , что соответствует дельтообразному пику в распределении времен возврата. Очевидно, что этот участок приведет к некоторому уменьшению давления в билиарде. Если без этого участка стенке билиарда передавался некоторый импульс  $P$  за время  $T$ , то теперь этот импульс будет передан за время  $T + m^*T^*$ , где  $m^* = \frac{a^*}{p}m = \frac{a^*}{l_{per}} \frac{T}{T_{mid}}$ , где  $m^*$  и  $m$  — число столкновений с задерживающим участком и всего с границей за время  $T$ ,  $T_{mid}$  — среднее время пробега между столкновениями,  $l_{per}$  — длина периметра билиарда. Таким образом, новое давление будет выражено как  $p_n = \frac{p}{1 + \frac{a^*T^*}{l_{per}T_{mid}}} = kT \frac{N}{V + V_k}$ , откуда

$$V_k = V \frac{a^*T^*}{l_{per}T_{mid}}. \quad (9.3)$$

Таким образом, появление пика в распределении времен возврата оказывает на давление такое же влияние, как и соединение с билиардом объемом  $V_k$ .

В итоге, присоединение к эргодическому билиарду неэргодического, распределение времен возврата которого состоит из экспонент и дельтообразных пиков, оказывается эквивалентно присоединению эргодического с объемом

$$V_{eff} = \sum_i p_i V_i, \quad (9.4)$$

где  $p_i$  — доля возвратов, приходящаяся на отдельную экспоненту или пик из полного распределения, а  $V_i$  считается по формуле (9.2) для экспонент и (9.3) для пиков.

Кривые изменения давления в треугольном бильярде с изменением его объема были построены численно для разных значений параметра  $\sigma$  присоединенного к нему криволинейного треугольного бильярда. Для всех параметров эта зависимость была близка к такой же зависимости для двух эргодичных бильярдов. Существенная разница состояла только в том, что объем криволинейного бильярда в уравнении состояния не совпадал с его реальным объемом. Другими словами, неэргодичный криволинейный треугольный бильярд вел себя аналогично эргодичному, но существенно меньшего объема. Вид полученной поправки к реальному объему бильярда показан на рисунке 16 квадратиками, для  $\sigma < 0.5$  поправка нулевая.

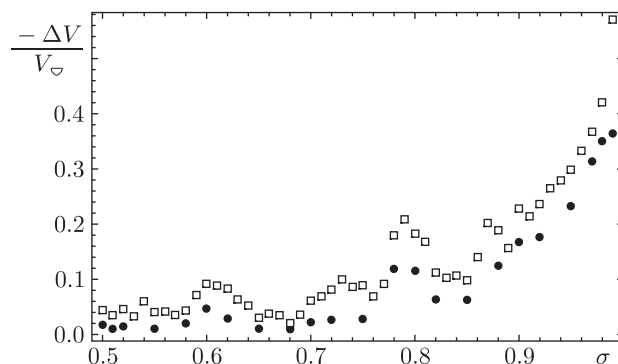


Рис. 16. Квадратиками показана связанная с неэргодичностью поправка  $\Delta V$  к реальному объему криволинейного бильярда, полученная из анализа построенного численно уравнения состояния для разных параметров  $\sigma$ ; кругами показана доля недоступного для траектории фазового пространства криволинейного треугольного бильярда.

Так же была построена доля фазового пространства криволинейного треугольного бильярда, все еще занятая островками устойчивости после объединения бильярдов, то есть после того, как большая часть островков оказалась разрушена. Она показана на рисунке 16 кругами. Видно, что полученная поправка к объему бильярда хорошо коррелирует с этой долей фазового пространства. Интересно заметить, что при этом траектория заполняет доступное ей фазовое пространство сильно неравномерно. Во взятом же отдельно криволинейном треугольном бильярде эта поправка к объему не коррелирует с долей фазового пространства, недоступной хаотическим траекториям. Таким образом, поправка к объему в уравнении состояния приближенно может быть получена простым анализом фазового портрета соединенных бильярдов.

## 10. Выводы

В работе был рассмотрен двумерный идеальный газ несталкивающихся частиц, находящийся в двух сообщающихся сосудах. Эта задача по сути сводится к движению одной частицы в двух соединенных открытых математических бильярдах. Одним из них взят бильярд в виде треугольника, углы которого несоизмеримы с  $\pi$ . В закрытой форме этот бильярд является слабохаотичным, не имеет островков устойчивости в фазовом пространстве и ведет себя эргодичным образом. Вторым взят бильярд в виде криволинейного треугольника, его граница специально подобрана так, что значительная часть фа-



зового пространства бильярда занята островками устойчивости. Этот бильярд заведомо не эргодичен. После соединения двух бильярдных большая часть островков устойчивости оказывается разрушена: траектории из хаотического моря закрытой формы криволинейного треугольного бильярда теперь могут выйти в другой бильярд и вернуться назад на бывший островок устойчивости. Некоторые островки, однако, остаются неразрушенными.

Находящийся в таких соединенных бильярдах газ частиц оказывает некоторое давление на стенки бильярдных. В треугольном бильярде это давление устанавливается везде одинаковым, равномерно распределенным по периметру бильярда. Это позволяет ввести в нем единое макроскопическое давление газа. В криволинейном же треугольном бильярде, при условии, что изначально весь газ был в треугольном бильярде, устанавливается сильно неравномерное давление. При этом величина этого локального давления везде оказывается меньшей, чем давление в треугольном бильярде. Даже около соединяющего бильярдных отверстия, «виртуальное давление» на котором устанавливается равным, давление на непосредственно прилегающие к отверстию стенки будет отличаться на величину порядка процента.

Были рассмотрены установившиеся распределения времен нахождения частицы для обоих бильярдных. В треугольном бильярде устанавливается типичное для эргодичного случая экспоненциальное распределение времен выхода частицы из бильярда. На вид этого распределения в криволинейном треугольном бильярде существенное влияние оказывают разрушенные островки устойчивости. Они дают дельтообразные пики в распределении времен возврата, соответствующие периоду центральной траектории островка, и по-видимому степенное распределение времен возврата для задержавшихся на островке траекторий. Это распределение обрезается на времени, соответствующем времени выхода с граничной траектории разрушенного островка устойчивости. Поэтому эта часть распределения существует только на ограниченном диапазоне времен возврата и точности непосредственно численного счета оказалось недостаточно, чтобы отличить степенное распределение от экспоненциального. Однако рассмотрение устройства островка и движения по нему показывает, что скорее всего эта часть распределения является именно степенной. Хвост распределения соответствует возвратам траекторий, попавших в хаотическое море, и является экспоненциальным. Таким образом, в целом распределение оказывается довольно необычным, значительная доля возвратов приходится на дельтообразные пики в области малых времен возврата, потом идут участки степенного спада и экспоненциальный хвост распределения.

Поскольку в треугольном бильярде устанавливается равномерное давление на стенки, был рассмотрен вопрос об уравнении состояния газа в нем, то есть о том, как будет меняться это давление с изменением объема бильярда. Была построена зависимость давления от величины обратного суммарного объема обоих бильярдных: она оказалась почти линейной, но не проходящей через начало координат. Таким образом, хотя бильярд в целом является не эргодичным, функционально его уравнение состояния похоже на обычное уравнение состояния идеального газа. Имеются, правда, и некоторые отличия от линейности, особенно существенные при приближении динамики в криволинейном треугольном бильярде к регулярной. Другими словами, полученное уравнение состояния имел бы обычный идеальный газ в обычном сосуде, но другого объема. С точки зрения уравнения состояния, рассматриваемый неэргодичный бильярд очень похож на эргодичный, но с объемом меньше, чем реальный объем криволинейного треугольника. Величина поправки к объему, как оказалось, хорошо коррелирует с долей фазового пространства, занятой неразрушенными островками устойчивости.

## Список литературы

- [1] Галперин Г. А., Чернов Н. И. Биллиарды и хаос. Москва: Знание, 1991. 46 с.
- [2] Zaslavsky G. M., Edelman M. Maxwell's demon as a dynamical model // *Phys. Rev. E*, 1997, vol. 56, no. 5, pp. 5310–5320.
- [3] Schneider J., Tel T. Extracting flow structures from tracer data // *Ocean Dynamics*, 2003, vol. 53, no. 2, pp. 64–72.
- [4] Tuval I., Schneider J., Piro O., Tel T. Opening up fractal structures of three-dimensional flows via leaking // *Europhys. Lett.*, 2004, vol. 65, no. 5, pp. 633–639.
- [5] Nagler J. Crash test for the restricted three-body problem // *Phys. Rev. E*, 2005, vol. 71, no. 2, 026227, 11 pp.
- [6] Motter A. Mixmaster chaos // *Phys. Lett. A*, 2001, vol. 285, nos. 3–4, pp. 127–131.
- [7] Altmann E. G. Emission from dielectric cavities in terms of invariant sets of the chaotic ray dynamics // *Phys. Rev. A*, 2009, vol. 79, no. 1, 013830, 9 pp.
- [8] Dettmann C. P., Morozov G. V., Sieber M., Waalkens H. Unidirectional emission from circular dielectric microresonators with a point scatterer // *Phys. Rev. A*, 2009, vol. 80, no. 6, 063813, 11 pp.
- [9] Shinohara S., Harayama T., Fukushima T., Hentschel M., Sunada S., Narimanov E. Chaos-assisted emission from asymmetric resonant cavity microlasers // *Phys. Rev. A*, 2011, vol. 83, no. 5, 053837, 8 pp.
- [10] Portela J. S., Caldas I. L., Viana R. L. Tokamak magnetic field lines described by simple maps // *Eur. Phys. J. Special Topics*, 2008, vol. 165, no. 1, pp. 195–205.
- [11] Bunimovich L. A., Dettmann C. P. Peeping at chaos: Nondestructive monitoring of chaotic systems by measuring long-time escape rates // *Europhys. Lett.*, 2007, vol. 80, no. 4, 40001, 6 pp.
- [12] Buljan H., Paar V. Many-hole interactions and the average lifetimes of chaotic transients that precede controlled periodic motion // *Phys. Rev. E*, 2001, vol. 63, no. 6, 066205, 13 pp.
- [13] Aguirre J., Sanjuan M. Limit of small exits in open Hamiltonian systems // *Phys. Rev. E*, 2003, vol. 67, no. 5, 056201, 7 pp.
- [14] Bleher S., Grebogi C., Ott E., Brown R. Fractal boundaries for exit in Hamiltonian dynamics // *Phys. Rev. A*, 1988, vol. 38, no. 2, pp. 930–938.
- [15] Chirikov B., Shepelyansky D. L. Correlation properties of dynamical chaos in Hamiltonian systems // *Phys. D*, 1984, vol. 13, no. 3, pp. 395–400.
- [16] Zaslavsky G. M. Chaos, fractional kinetics, and anomalous transport // *Phys. Rep.*, 2002, vol. 371, no. 6, pp. 461–580.
- [17] Jacquod P., Petitjean C. Decoherence, entanglement and irreversibility in quantum dynamical systems with few degrees of freedom // *Adv. Phys.*, 2009, vol. 58, no. 2, pp. 67–196.
- [18] Altmann E. G., Portela J. S. E., Tel T. Leaking chaotic systems // *Rev. Mod. Phys.*, 2013, vol. 85, no. 2, pp. 869–918.
- [19] Bauerand W., Bertsch G. F. Decay of ordered and chaotic systems // *Phys. Rev. Lett.*, 1990, vol. 65, no. 18, pp. 2213–2216.
- [20] Fendrik A. J., Rivas A. M. F., Sánchez M. J. Decay of quasibounded classical Hamiltonian systems and their internal dynamics // *Phys. Rev. E*, 1994, vol. 50, no. 3, pp. 1948–1958.
- [21] Alt H., Gräf H. D., Harney H. L., Hofferbert R., Rehfeld H., Richter A., Schardt P. Decay of classical chaotic systems: The case of the Bunimovich stadium // *Phys. Rev. E*, 1996, vol. 53, no. 3, pp. 2217–2222.
- [22] Dettmann C. P., Georgiou O. Transmission and reflection in the stadium billiard: Time-dependent asymmetric transport // *Phys. Rev. E*, 2011, vol. 83, no. 3, 036212, 5 pp.
- [23] Donnay V. J. Non-ergodicity of two particles interacting via a smooth potential // *J. Stat. Phys.*, 1999, vol. 96, nos. 5–6, pp. 1021–1048.

- [24] Kaplan A., Friedman N., Andersen M., Davidson N. Observation of islands of stability in soft wall atom-optics billiards // *Phys. Rev. Lett.*, 2001, vol. 87, no. 27, 274101, 4 pp.
- [25] Козлов В. В. Тепловое равновесие по Гиббсу и Пуанкаре. Москва–Ижевск: Институт компьютерных исследований, 2002. 320 с.
- [26] Васькин В. В., Ердакова Н. Н., Мамаев И. С. Статистическая механика нелинейных динамических систем // *Нелинейная динамика*, 2000, т. 5, № 3, с. 385–402.
- [27] Козлов В. В. Ансамбли Гиббса и неравновесная статистическая механика. Москва–Ижевск: Институт компьютерных исследований, 2008. 204 с.
- [28] Найденов С. В., Яновский В. В. Геометро-динамический подход к бильярдным системам: 1. Проективная инволюция бильярда. Прямая и обратная задачи // *ТМФ*, 2001, т. 127, № 1, с. 110–124.
- [29] Найденов С. В., Яновский В. В. Геометро-динамический подход к бильярдным системам: 2. Геометрические особенности инволюций // *ТМФ*, 2001, т. 129, № 1, с. 116–130.
- [30] Casati G., Prosen T. Mixing property of triangular billiards // *Phys. Rev. Lett.*, 1999, vol. 83, no. 23, pp. 4729–4732.
- [31] Секей Г. Парадоксы в теории вероятностей и математической статистике. Москва: Мир, 1990. 240 с.

## The equation of state of an ideal gas in two connected vessels

Dmitry M. Naplekov<sup>1</sup>, Vladimir P. Seminozhenko<sup>2</sup>, Vladimir V. Yanovsky<sup>3</sup>

<sup>1,2,3</sup>Institute for Single Crystals, National Academy of Sciences of Ukraine  
pr. Lenina 60, Kharkov, 310001, Ukraine

<sup>1</sup>nmi@datasvit.net, <sup>2</sup>semynozhenko@isc.kharkov.com, <sup>3</sup>yanovsky@isc.kharkov.ua

We consider a two-dimensional collisionless ideal gas in the two vessels. In one of them particles behavior is ergodic. Another one is known to be nonergodic. Significant part of the phase space of this vessel is occupied by islands of stability. It is shown, that gas pressure is uniform in the first vessel and highly uneven in second one. Distribution of particle residence times was considered. For nonergodic vessel it is found to be quite unusual: delta spikes on small times, then several sites of chopped sedate decay and finally exponential tail. Such unusual dependence is found to be connected with islands of stability, destroyed after vessels interconnection. Equation of gas state in the first vessel is obtained. It differs from the ordinary equation of ideal gas state by an amendment to the vessel's volume. In this way vessel's boundary affects the equation of gas state. Correlation of this amendment with a share of the phase space under remaining intact islands of stability is shown.

MSC 2010: 37A60, 65P20

Keywords: nonergodicity, ideal gas, equation of state, connected vessels, establishment of a stationary state

Received June 25, 2013, accepted July 25, 2013

Citation: *Rus. J. Nonlin. Dyn.*, 2013, vol. 9, no. 3, pp. 435–457 (Russian)